

最近の富士山の地殻活動*

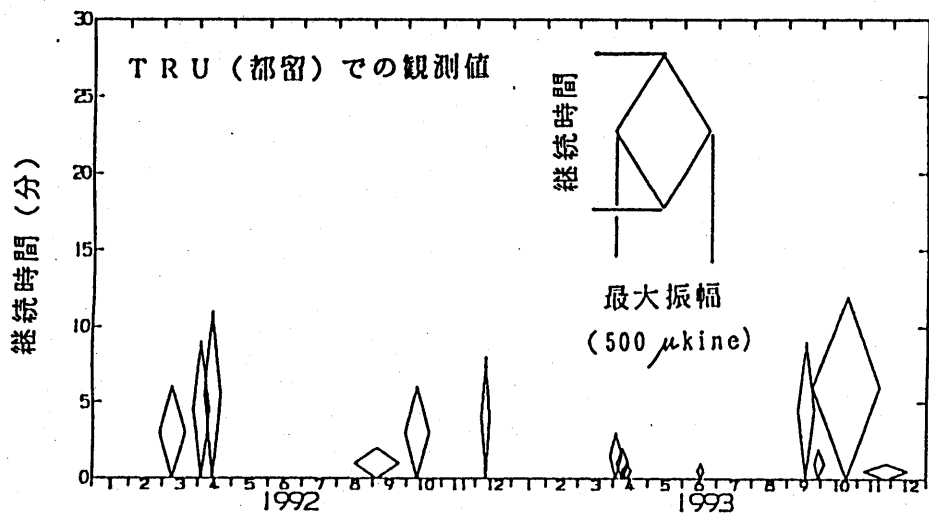
Recent Crustal Activity of Mt. Fuji

防災科学技術研究所
National Research Institute for Earth
Science and Disaster Prevention

富士山直下では 1993 年に 8 回の低周波地震活動が検知された。第 1 図に 1992 年と 1993 年の低周波地震活動の発生状況を示す。1993 年に震源決定された低周波地震は 12 個であったが、その内 6 個は 10 月 22 日の活動中に発生したものである。震源決定された低周波地震の震央を深さ 30 km 以浅の地震とともに第 2 図に示す。山頂から北西方向やや離れたところに 2 個震源決定されているが、精度に問題がある。

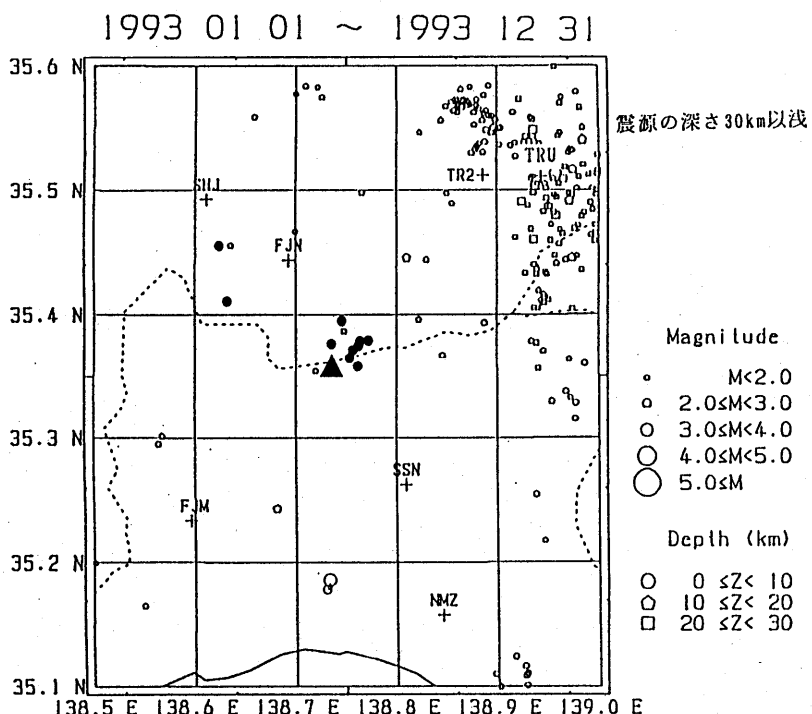
富士鳴沢火山活動観測施設（第 2 図、F J N）において実施している傾斜変動観測の 1993 年の結果を第 3 図に示す。これは 10 分値データに 24 時間の移動平均を施した日平均値である。ドリフト量は南北成分が $5.4 \mu\text{rad}/\text{年}$ 、東西成分は $4.0 \mu\text{rad}/\text{年}$ で、やや減少傾向にあるがほぼ一定してきている。第 4 図にドリフトを時間の 1 次式と仮定して除去した傾斜変動日平均値を降雨量とともに示す。南北成分には降雨時に北上がりの変動が現れる。

* Received 18 Apr., 1994



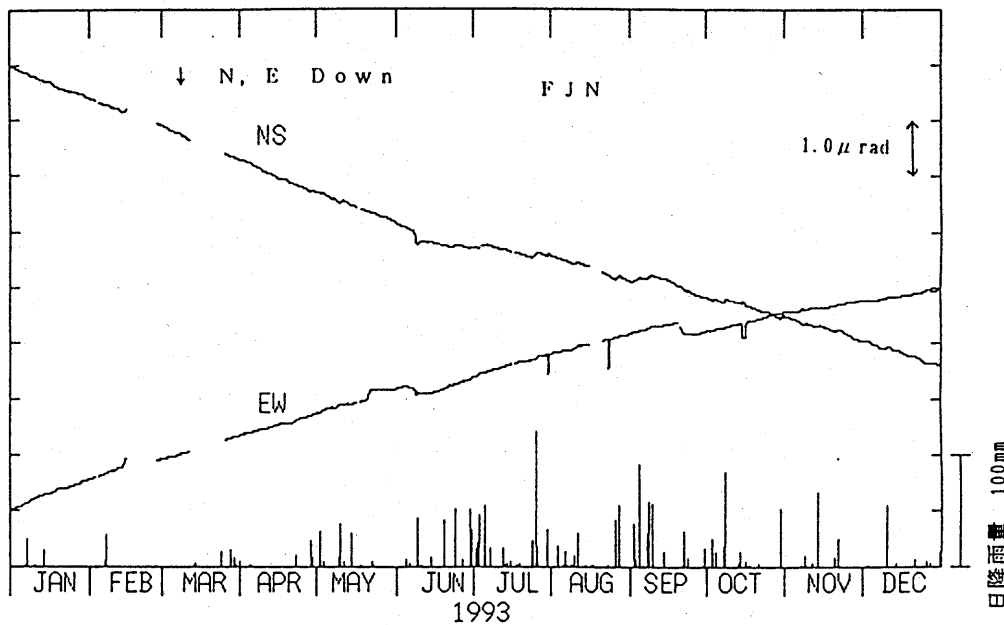
第1図 低周波地震の活動状況(1992~1993年)。都留(TRU、第2図)での最大振幅と継続時間を示す。

Fig. 1 Activity of low frequency earthquakes beneath Mt. Fuji in 1992 and 1993. Maximum amplitude and duration time at TRU (Fig. 2) are indicated for each event.



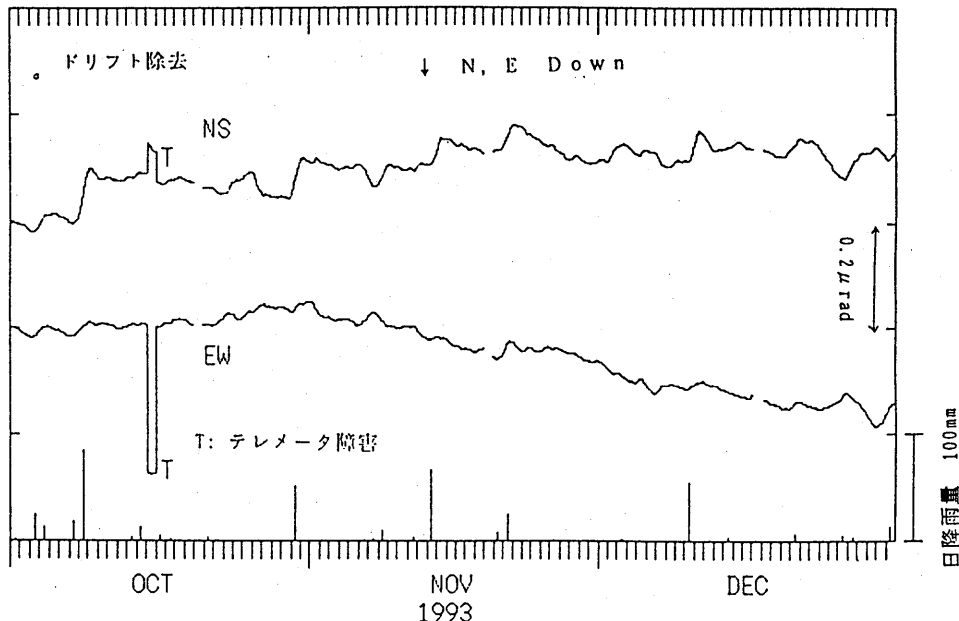
第2図 1993年に富士山周辺で発生した30 km以浅の地震の震央分布(●:低周波地震)

Fig. 2 Map showing epicenters of earthquakes shallower than 30 km around Mt. Fuji in 1993. Solid circles indicate low frequency earthquakes.



第3図 富士鳴沢火山活動観測施設(FJN, 第2図)での1993年の傾斜変動日平均値, 棒グラフは日降雨量。

Fig. 3 Daily mean value of tilt changes observed at FJN (Fig.2). Vertical bars indicate daily precipitations.



第4図 ドリフトを除去したFJNでの傾斜変動日平均値(1993年10月～12月)

Fig. 4 Daily mean value of tilt change without drift component for the period from October to December in 1993.